

$$a_x = \left(\frac{i_{xx}}{\delta_x}\right)^2; \quad a_y = \left(\frac{i_{yy}}{\delta_y}\right)^2; \quad \Lambda_\alpha^{(i)} = \lambda_\alpha^{(i)} 2\delta_i; \quad \Lambda_\beta^{(i)} = \lambda_\beta^{(i)} 2\delta_i;$$

$$\kappa_x = \delta_y k \cos \varphi; \quad \kappa_y = \delta_x k \sin \varphi;$$

L — линия пересечения поверхности S_{m+1} плоскостью поперечного сечения стержня; i_{xx}, i_{yy} — радиусы инерции области D относительно соответствующих осей; x_i^0, y_i^0 — координаты центра тяжести отрезка Γ_i , образуемого пересечением поверхности S_i ($i = 1, 2, 3, \dots, m$) плоскостью поперечного сечения.

Интегрирование по Γ_i второй группы условий (3) с учетом формул (1), (7) и (8) приводит к следующим соотношениям:

$$T + \frac{x_i^0}{\delta_y} \theta_y + \frac{y_i^0}{\delta_x} \theta_x = T_i, \quad \frac{\delta_i}{\delta_x} \theta_x \cos \varphi - \frac{\delta_i}{\delta_y} \theta_y \sin \varphi = \theta_i \quad (11)$$

$$(i = 1, 2, 3, \dots, m).$$

Краевые условия на T, θ_x и θ_y получаем непосредственным интегрированием условий (5) и (6): на S_r

$$\Lambda_s \frac{\partial T}{\partial s} + E_r \left(T - \frac{1}{F} \iint_D t_r^{(e)} dF \right) = 0,$$

$$\Lambda_s \frac{\partial \theta_x}{\partial s} + E_r \left(\theta_x - \frac{\delta_x}{I_{xx}} \iint_D t_r^{(e)} y dF \right) = 0, \quad (12)$$

$$\Lambda_s \frac{\partial \theta_y}{\partial s} + E_r \left(\theta_y - \frac{\delta_y}{I_{yy}} \iint_D t_r^{(e)} x dF \right) = 0,$$

$$E_r = \varepsilon_r F \quad (r = m+2, m+3);$$

при $\tau = 0$

$$T = \frac{1}{F} \iint_D t_0 dF, \quad \theta_x = \frac{\delta_x}{I_{xx}} \iint_D t_0 y dF, \quad \theta_y = \frac{\delta_y}{I_{yy}} \iint_D t_0 x dF. \quad (13)$$

Таким образом, для определения температурного поля m -слойной оболочки с подкрепленным краем необходимо решить систему дифференциальных уравнений на T_i и θ_i ($i = 1, 2, 3, \dots, m$) [1, 4] совместно с системой уравнений (9) на T, θ_x и θ_y при условиях сопряжения (11) и краевых условиях (13).

ЛИТЕРАТУРА

1. Береговой С. П., Подстригач Я. С., Чернуха Ю. А. Об уравнениях теплопроводности многослойных оболочек. — Изв. АН СССР. МТТ, 1972, № 3, с. 105—110.
2. Григолоук Э. И., Чулков П. П. Уравнения поля температур для трехслойных оболочек. — Изв. АН СССР. Техника, 1964, 6, № 2, с. 88—92.
3. Смирнов И. В. Курс высшей математики. Т. 2. Физматгиз, М., 1954. 628 с.
4. Чернуха Ю. А. Задача теплопроводности для облучаемых многослойных оболочек. — Мат. методы и физ.-мех. поля, 1975, вып. 1, с. 104—109.

Львовский филиал математической
физики Института математики
АН УССР

Поступила в редколлегию
15.V 1975 г.

УДК 539.3

В. А. Осадчук, Е. И. Труш, Е. М. Федюк

ВЛИЯНИЕ НЕОДНОРОДНОСТИ ПО ТОЛЩИНЕ НА НАПРЯЖЕННОЕ СОСТОЯНИЕ СЛОИСТОЙ ПОЛОГОЙ СФЕРИЧЕСКОЙ ОБОЛОЧКИ С ТРЕЩИНОЙ

Использование в инженерной практике тонкостенных элементов конструкций, изготовленных из новых композитных материалов (армированных пластмасс и др.) требует разработки методики расчета на прочность этих

элементов, учитывающей их специфические особенности. В настоящей работе рассмотрена задача о напряженном состоянии неоднородной по толщине полой сферической оболочки с прямолинейной трещиной. Неоднородность оболочки заключается в том, что упругие характеристики E и ν изменяются с изменением нормальной к поверхности оболочки координаты, причем так, что характеристики материала удовлетворяют обобщенному закону Гука и остается в силе гипотеза недеформируемых нормалей.

Рассмотрим неоднородную бесконечную пологую сферическую оболочку с прямолинейной в плане трещиной длины $2l$, берега которой загружены самоуравновешивающимися усилиями и моментами. Отнесем оболочку к декартовой прямоугольной системе координат XOY , начало которой совпадает со серединой, а ось OX — с линией трещины.

Исходя из представления компонент тензора $\{e_{ij}\}$ геометрически малой деформации в виде [3]

$$e_{ij} = e_{ij}^{(s)} + e_{ij}^{(0)} \quad (i, j = x, y), \quad (1)$$

где $e_{ij}^{(s)}$ — компоненты тензора упругой деформации, $e_{ij}^{(0)}$ — компоненты тензора дисторсии, для неоднородной полой сферической оболочки [4] получаем систему дифференциальных уравнений относительно функции напряжений φ и функции прогибов w :

$$\begin{aligned} \frac{B}{l^2} \nabla^2 \nabla^2 \varphi + \frac{d_{22}}{l^2} \nabla^2 \nabla^2 w - \frac{1}{R} \nabla^2 w &= -F_1^0(x, y), \\ \frac{A}{l^2} \nabla^2 \nabla^2 w - \frac{d_{22}}{l^2} \nabla^2 \nabla^2 \varphi + \frac{1}{R} \nabla^2 \varphi &= -AF_2^0(x, y). \end{aligned} \quad (2)$$

Здесь

$$\begin{aligned} F_1^0 &= \nabla^2 (\varepsilon_{22}^0 + d_{22}\kappa_{11}^0 + d_{11}\kappa_{22}^0) + \partial_2^2 [\varepsilon_{11}^0 - \varepsilon_{22}^0 + d_{12}(\kappa_{11}^0 - \kappa_{22}^0)] - \\ &\quad - \partial_1 \partial_2 (\varepsilon_{12}^0 + 2d_{12}\kappa_{12}^0), \\ F_2^0 &= \nabla^2 (\kappa_{11}^0 + \mu\kappa_{22}^0) - (1 - \mu) [\partial_2^2 (\kappa_{11}^0 - \kappa_{22}^0) - 2\partial_1 \partial_2 \kappa_{12}^0]; \\ d_{11} &= \frac{C_{11}K_{11} - C_{22}K_{22}}{\Omega}; \quad d_{22} = \frac{C_{11}K_{22} - C_{22}K_{11}}{\Omega}; \quad d_{12} = \frac{K_{12}}{C_{12}}; \quad A = D_{11} - D_{11}^0; \\ B &= \frac{C_{11}}{\Omega}; \quad \mu = \frac{A_1}{A}; \quad A_1 = D_{22} - D_{22}^0; \quad D_{11}^0 = K_{11}d_{11} + K_{22}d_{22}; \\ D_{22}^0 &= K_{11}d_{22} + K_{22}d_{11}; \quad \Omega = C_{11}^0 - C_{22}^0; \\ C_{ij} &= \int_{-h}^h B_{ij}(Z) dZ; \quad K_{ij} = \int_{-h}^h B_{ij}(Z) Z dZ; \quad D_{ij} = \int_{-h}^h B_{ij}(Z) Z^2 dZ \quad (i, j = 1, 2); \\ B_{11} &= \frac{E}{1 - \nu^2}; \quad B_{22} = \nu B_{11}; \quad B_{12} = \frac{E}{2(1 + \nu)}; \quad E = E(Z); \quad \nu = \nu(Z); \\ \partial_1 &= \frac{\partial}{\partial x}; \quad \partial_2 = \frac{\partial}{\partial y}; \quad \nabla^2 = \partial_1^2 + \partial_2^2; \quad x = \frac{X}{l}; \quad y = \frac{Y}{l}; \end{aligned}$$

$\varepsilon_{ij}^0, \kappa_{ij}^0$ — осредненные по толщине оболочки компоненты тензора дисторсии [2]; R и $2h$ — радиус срединной поверхности и толщина оболочки; Z — координата, направленная по внешней нормали к срединной поверхности оболочки.

Случай, когда $B_{ij}(Z)$ имеет ступенчатый характер, т. е.

$$B_{ij}(Z) = \begin{cases} B_{ij}^{(1)} & \text{при } -h \leq Z \leq \delta_1 - h, \\ B_{ij}^{(2)} & \text{при } \delta_1 - h \leq Z \leq \delta_2 - h, \\ \dots & \dots \\ B_{ij}^{(n)} & \text{при } \delta_{n-1} - h \leq Z \leq h, \end{cases} \quad (3)$$

приводит к многослойным оболочкам, собранным из n однородных изотропных слоев при условии, что контакт между ними исключает взаимное про-

скальзывание и отставание, а ко всему пакету в целом применима гипотеза недеформируемых нормальных элементов. Выражения приведенных жесткостей C_{ij} , K_{ij} и D_{ij} в этом случае принимают следующий вид:

$$C_{ij} = \sum_{k=1}^n B_{ij}^{(k)} (\delta_k - \delta_{k-1}), \quad K_{ij} = \frac{1}{2} \sum_{k=1}^n B_{ij}^{(k)} [\delta_k^2 - \delta_{k-1}^2 - 2h(\delta_k - \delta_{k-1})],$$

$$D_{ij} = \frac{1}{3} \sum_{k=1}^n B_{ij}^{(k)} [\delta_k^3 - \delta_{k-1}^3 - 3h(\delta_k^2 - \delta_{k-1}^2) + 3h^2(\delta_k - \delta_{k-1})],$$
(4)

где δ_k — расстояние от внутренней поверхности, ограничивающей оболочку, до внешней поверхности k -го слоя.

Вводя комплексную функцию напряжений

$$\Phi(x, y) = \frac{1}{R} \sqrt{\frac{A}{B}} \omega(x, y) + \frac{i}{R} \varphi(x, y),$$
(5)

систему уравнений (2) приводим к уравнению

$$\nabla^2 (\nabla^2 - \lambda^2 s^2) \Phi(x, y) = -i \lambda^2 s^2 \left[F_2^0(x, y) + i \sqrt{\frac{A}{B}} F_1^0(x, y) \right].$$
(6)

Здесь

$$\lambda^2 = \frac{\sqrt{AB} l^2}{R(AB + C^2)}; \quad s^2 = \frac{C}{\sqrt{AB}} + i; \quad C = d_{22}; \quad i = \sqrt{-1}.$$

Используя интегральное преобразование Фурье, фундаментальное решение Φ_0 уравнения

$$\nabla^2 (\nabla^2 - \lambda^2 s^2) \Phi_0(x, y) = -i \lambda^2 s^2 \delta(x) \delta(y)$$
(7)

получаем в виде

$$\Phi_0 = \frac{i}{2\pi} [K_0(\lambda sr) + \ln r],$$
(8)

где $\delta(x)$ и $K_0(x)$ — соответственно функции Дирака и Макдональда; $r^2 = x^2 + y^2$.

Для рассматриваемой оболочки с трещиной $|x| \leq 1$, $y = 0$ поле дистерсий, характеризующее разрывы перемещений и углов поворота на линии трещины, при симметричной относительно линии трещины нагрузке принимает вид

$$\varepsilon_{22}^0(x, y) = \varepsilon_2(x) \delta(y), \quad \kappa_{22}^0(x, y) = \kappa_2(x) \delta(y) \quad \text{при } |x| < 1,$$

$$\varepsilon_{22}^0(x, y) = \kappa_{22}^0(x, y) = 0 \quad \text{при } |x| \geq 1,$$

$$\varepsilon_{11}^0(x, y) = \varepsilon_{12}^0(x, y) = \kappa_{11}^0(x, y) = \kappa_{12}^0(x, y) = 0,$$
(9)

где $\varepsilon_2(x) = \frac{1}{l}(v^+ - v^-)$, $\kappa_2(x) = -\frac{1}{l}(\theta_2^+ - \theta_2^-)$. Знаками «+» и «-» обозначены граничные значения соответствующей величины слева и справа от линии трещины.

Подставляя соотношения (9) в уравнение (6) и используя фундаментальное решение (8), находим выражение для функции $\Phi(x, y)$, на основании которого получим разрешающие функции φ и ω .

Условия на контуре трещины запишем так:

$$N_2(x, 0) = f_1(x), \quad M_2(x, 0) = f_2(x) \quad \text{при } |x| \leq 1;$$

$$v(x, 0) = 0, \quad \theta_2(x, 0) = 0 \quad \text{при } |x| > 1;$$

$$S(x, 0) = 0, \quad Q_2^*(x, 0) = 0 \quad \text{при всех } x,$$
(10)

где N_2 , S , Q_2^* — соответственно нормальное, касательное и обобщенное поперечное усилия; M_2 — изгибающий момент, определяемые на контуре трещины как сумма усилий и моментов в оболочке без трещины.

Подставляя выражения для функций φ и ω в формулы для определения усилия N_2 и момента M_2 :

$$N_2 = \frac{1}{r^2} \partial_1^2 \varphi, \quad M_2 = -\frac{1}{r^2} [A_1 \partial_1^2 \omega + A (\partial_2^2 \omega + l^2 \kappa_{22}^0) - (d_{11} \partial_1^2 + d_{22} \partial_2^2) \varphi] \quad (11)$$

и удовлетворяя граничным условиям (10), для определения функций $\varepsilon_2(x)$ и $\kappa_2(x)$ получаем систему сингулярных интегральных уравнений

$$\sum_{k=1}^2 \int_{-1}^1 \Psi_k(\xi) K_{ik}(x-\xi) d\xi = F_i(x), \quad |x| < 1 \quad (i = 1, 2). \quad (12)$$

Здесь

$$\begin{aligned} \Psi_1(\xi) &= \frac{d}{d\xi} \varepsilon_2(\xi); \quad \Psi_2(\xi) = \frac{d}{d\xi} \kappa_2(\xi); \quad K_{11} = -\frac{1}{\eta} + K_{11}^0; \\ K_{12} &= -\frac{a_1}{\eta} + K_{12}^0; \quad K_{21} = K_{12}; \quad K_{22} = -\frac{a_2}{\eta} + K_{22}^0; \quad K_{11}^0 = L_1 + L_2; \\ K_{12}^0 &= d_{12} L_1 + d_{11} L_2 + \sqrt{AB} [(1-\mu)L_3 - \mu L_4]; \quad K_{22}^0 = p_1 L_1 + p_2 L_2 + \\ &+ 2\sqrt{AB} [(1-\mu)d_{12} L_3 - (\mu d_{11} - C)L_4 - CL_5] + 2C^2 L_6 - \\ &- b[(1-\mu)^2 L_1 - (1-\mu^2)L_2 + L_6]; \\ L_1 &= \left(\frac{2}{\tau} \Phi_3 - a\Phi_1 - \Phi_2 - 1 \right) \frac{1}{\eta}; \quad L_2 = (2 + \tau\Phi_4 + a\tau\Phi_3) \frac{1}{\eta}; \\ L_3 &= \left(\frac{4}{\tau^2} + \frac{2}{\tau} \Phi_4 - a\Phi_2 + \Phi_1 - a \right) \frac{1}{\eta}; \\ L_4 &= (2a + a\tau\Phi_4 - \tau\Phi_3) \frac{1}{\eta}; \quad L_5 = \lambda^2 \int_0^\eta (a^2\Phi_2 - 2a\Phi_1 - \Phi_2) d\eta; \\ L_6 &= \lambda^2 \int_0^\eta (a^2\Phi_1 + 2a\Phi_2 - \Phi_1) d\eta; \quad \Phi_1(\tau) = -i [K_0(s\tau) - K_0(\bar{s}\tau)]; \\ \Phi_2(\tau) &= K_0(s\tau) + K_0(\bar{s}\tau); \quad \Phi_3(\tau) = \frac{d}{d\tau} \Phi_1(\tau), \quad \Phi_4(\tau) = \frac{d}{d\tau} \Phi_2(\tau); \\ \tau &= \lambda|\eta|; \quad \eta = x - \xi; \quad a_1 = d_{11} - \mu C; \quad a_2 = a_1^2 + (3 - 2\mu - \mu^2)b; \\ p_1 &= d_{12}^2 + (1 - \mu)^2 C^2; \quad p_2 = d_{11}^2 - (2 - \mu^2)C^2; \quad b = AB + C^2; \\ F_i &= \frac{4\pi b}{A} f_i(x) \quad (i = 1, 2); \quad s^2 = a + i; \quad \bar{s}^2 = a - i; \quad a = \frac{C}{\sqrt{AB}}. \end{aligned}$$

Функции K_{ik}^0 непрерывные для всего множества действительных значений x и ξ .

Отметим, что когда E и ν неизменны по толщине оболочки, из системы интегральных уравнений (12) получим соответствующую систему интегральных уравнений для однородной полой сферической оболочки с прямолинейной трещиной [3].

Решая систему интегральных уравнений (12) методом, предложенным в работе [1], для определения коэффициентов интенсивности

$$k_1 = \lim_{r \rightarrow 0} \sqrt{2r} N_2, \quad k_2 = \lim_{r \rightarrow 0} \sqrt{2r} M_2, \quad (13)$$

где r — расстояние вдоль линии трещины от ее вершины, получим формулы

$$k_1 = d \sum_{m=0}^{n-1} (A_m + a_1 B_m), \quad k_2 = d \sum_{m=0}^{n-1} (a_1 A_m + a_2 B_m). \quad (14)$$

Здесь

$$A_m = \frac{2}{n} \sum_{\nu=1}^n F_\nu \cos m\theta_\nu; \quad B_m = \frac{2}{n} \sum_{\nu=1}^n \Phi_\nu \cos m\theta_\nu;$$

$$F_v = F(x_v); \quad \Phi_v = \Phi(x_v); \quad x_v = \cos \theta_v; \quad \theta_v = \frac{2v-1}{2n} \pi;$$

$$\Psi_1(x) = \frac{F(x)}{\sqrt{1-x^2}}; \quad \Psi_2(x) = \frac{\Phi(x)}{\sqrt{1-x^2}}; \quad d = -\frac{\sqrt{IA}}{4b}.$$

Величины F_v и Φ_v находим, решая систему алгебраических уравнений:

$$\sum_{v=1}^n \alpha_{mv} F_v + \sum_{v=1}^n \beta_{mv} \Phi_v = \varphi_{1m},$$

$$\sum_{v=1}^n \beta_{mv} F_v + \sum_{v=1}^n \overline{\beta}_{mv} \Phi_v = \varphi_{2m} \quad (m = 1, 2, \dots, n), \quad (15)$$

где

$$\alpha_{mv} = \frac{1}{2n} [K(\theta_m, \theta_v) + K_{11}^0(\cos \theta_m, \cos \theta_v)];$$

$$\beta_{mv} = \frac{1}{2n} [a_1 K(\theta_m, \theta_v) + K_{12}^0(\cos \theta_m, \cos \theta_v)];$$

$$\overline{\beta}_{mv} = \frac{1}{2n} [a_2 K(\theta_m, \theta_v) + K_{22}^0(\cos \theta_m, \cos \theta_v)];$$

$$K(\theta_m, \theta_v) = \frac{1}{\sin \theta_m} \operatorname{ctg} \frac{\theta_m \mp \theta_v}{2}; \quad \varphi_{im} = \frac{2b}{A} f_{im} \quad (i = 1, 2).$$

Верхний знак берем, когда число $|m - v|$ нечетно, а нижний — когда оно четно. Приведенные формулы позволяют исследовать вопрос об изменении коэффициентов интенсивности в зависимости от толщины и упругих характеристик оболочки.

Для определения напряженно-деформированного состояния неоднородной бесконечной пластинки ($R \rightarrow \infty$) с прямолинейной трещиной $|x| \leq 1$, $y = 0$ из системы интегральных уравнений (12) получим

$$\int_{-1}^1 \Phi_{i0}(\xi) \frac{d\xi}{x-\xi} = -F_i(x), \quad |x| < 1 \quad (i = 1, 2), \quad (16)$$

где $\Phi_{10}(\xi) = \Psi_1(\xi) + a_1 \Psi_2(\xi)$, $\Phi_{20}(\xi) = a_1 \Psi_1(\xi) + a_2 \Psi_2(\xi)$. Решая систему интегральных уравнений (16) и используя выражения функций $\varepsilon_2(x)$ и $\kappa_2(x)$ через разрывы перемещений и углов поворота, находим перемещение $v(x)$ и угол поворота $\theta_2(x)$ берегов трещины. Когда к берегам трещины приложены равномерно распределенные по ее длине усилие и момент ($f_1 = -N_2^0$, $f_2 = -M_2^0$), эти величины имеют вид

$$v(x) = (a_2 N_2^0 - a_1 M_2^0) q(x), \quad \theta_2(x) = (a_1 N_2^0 - M_2^0) q(x), \quad (17)$$

где

$$q(x) = \frac{2l \sqrt{1-x^2}}{(3-2\mu-\mu^2)A}.$$

Условие отсутствия контакта берегов трещины под действием данной нагрузки получим в виде

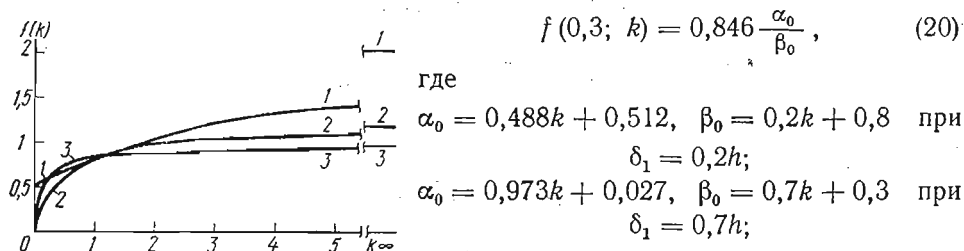
$$q(x) [(a_2 + a_1 h) N_2^0 - (a_1 + h) M_2^0] > 0. \quad (18)$$

Рассмотрим пластинку, составленную из трех изотропных слоев, симметричных относительно срединной поверхности в геометрическом и физическом отношениях. В этом случае жесткость взаимного влияния $K_{ij} = 0$, а условие (18) при неизменном по толщине пластинки коэффициенте Пуассона принимает вид

$$\frac{M_2^0}{N_2^0 h} < f(v, k), \quad (19)$$

где $f(v, k) = \frac{3 - 2v - v^2}{3(1 - v^2)} \frac{\alpha}{\beta}$; $\alpha = (1 - k)(h - \delta_1)^3 + kh^3$; $\beta = (k - 1)\delta_1 + h$; $k = \frac{E_1}{E}$; δ_1 — толщина внешнего (внутреннего) слоя; E и E_1 — соответственно модули упругости среднего и внешнего (внутреннего) слоев пластинки.

Числовые расчеты произведены для различных значений параметра k при $v = 0,3$; $\delta_1 = 0,2; 0,7; 0,9h$. При этом



$$f(0,3; k) = 0,846 \frac{\alpha_0}{\beta_0}, \quad (20)$$

где

$$\alpha_0 = 0,488k + 0,512, \quad \beta_0 = 0,2k + 0,8 \quad \text{при}$$

$$\delta_1 = 0,2h;$$

$$\alpha_0 = 0,973k + 0,027, \quad \beta_0 = 0,7k + 0,3 \quad \text{при}$$

$$\delta_1 = 0,7h;$$

$$\alpha_0 = 0,999k + 0,001, \quad \beta_0 = 0,9k + 0,1 \quad \text{при} \quad \delta_1 = 0,9h.$$

На рисунке кривыми 1, 2, 3 изображены графики изменения функции $f(k)$ для значений толщины $\delta_1 = 0,2; 0,7; 0,9h$ соответственно. Как видно из графиков, с увеличением модуля упругости E_1 контакт берегов трещины при $k > 1$ наступает раньше в пластинке с более толстыми наружными слоями для всех значений параметра k , а при $k < 1$ — в пластинке с толстыми и тонкими наружными слоями в зависимости от конкретного значения k .

ЛИТЕРАТУРА

1. Каландия А. И. Математические методы двумерной упругости. М., «Наука», 1973. 303 с.
2. Осадчук В. А., Подстригач Я. С. К определению напряженного состояния в замкнутой цилиндрической оболочке и бесконечной пластине с трещинами.— МТТ, 1973, № 3, с. 69—78.
3. Подстригач Я. С., Осадчук В. А., Федюк Е. М., Николишин М. М. Метод дисторсий в теории тонких оболочек с трещинами.— Мат. методы и физ.-мех. поля, 1975, вып. 1, с. 29—41.
4. Труш Е. И. Многослойные сферические оболочки под действием нагрузки, равномерно распределенной по площадке.— Прикл. механика, 1970, 6, № 7, с. 64—72.

Львовский филиал математической физики Института математики АН УССР

Поступила в редколлегию 16.IX 1975 г.

УДК 539.377

Р. Н. Швець, В. М. Флячок

РЕАКЦИЯ ОРТОТРОПНЫХ ЦИЛИНДРИЧЕСКИХ ОБОЛОЧЕК НА ТЕМПЕРАТУРНЫЕ ВОЗДЕЙСТВИЯ

Исследуем динамическое поведение замкнутой круговой цилиндрической оболочки при действии мгновенно приложенных и вращающихся температурных нагрузок. Термоупругое движение оболочки будем описывать взаимосвязанными линейными уравнениями теории термоупругости тонких ортотропных оболочек, учитывающих инерцию вращения и поперечные сдвиги.

Исходные уравнения и соотношения. Уравнения нестационарной теплопроводности тонкой цилиндрической оболочки постоянной толщины $2h$ и радиуса R , учитывающие термоупругое рассеяние энергии, при кубиче-